

УДК 533.6.011.72

ОСЕСИММЕТРИЧНЫЕ КОНИЧЕСКИЕ И ЛОКАЛЬНО-КОНИЧЕСКИЕ ТЕЧЕНИЯ БЕЗ ЗАКРУТКИ

А. Н. Крайко, Н. И. Тилляева

Центральный институт авиационного моторостроения им. П. И. Баранова, 111116 Москва
E-mails: akraiko@ciam.ru, ntill@ciam.ru

Рассмотрены осесимметричные стационарные конические и локально-конические незакрученные течения идеального (невязкого и нетеплопроводного) газа. Как и двумерные конические течения, исследуемые одномерные (осесимметричные) течения могут быть конически до- и сверхзвуковыми. Показано, что если равномерный поток коническим течением не считать, то изменение типа одномерных конических течений, за исключением стыковки двух одномерных конических течений различного типа на C^+ -характеристике, возможно только на ударной волне. Построены C^\pm -характеристики и линии тока для ряда локально-конических течений и ряда известных и новых конических течений.

Ключевые слова: условие локальной коничности, диффузор, кормовая часть, конус, детонационная волна, характеристики, линии тока.

Введение. Примерами осесимметричных конических течений (КТ) без закрутки являются обтекание при нулевом угле атаки кругового конуса инертным газом [1–7] и детонирующей смесью [8], течение в диффузоре А. Буземана [1–7], течение А. А. Никольского вблизи специально спрофилированной кормовой части [3–7, 9] и течение Г. Л. Гродзовского [3, 10] в ограниченных удаленных от оси симметрии кольцевых областях с одной прямой границей (участком ударной волны (УВ)). В этих течениях в полярных координатах r, φ с центром на оси симметрии параметры потока не зависят от r , и уравнения КТ (УКТ) являются обыкновенными дифференциальными уравнениями с производными по φ . Однако при обтекании конуса, имеющего конечные размеры, возможны режимы, для которых при наличии УВ слабого семейства поток вблизи поверхности конуса является дозвуковым и производные по r отличны от нуля всюду включая сколь угодно малую окрестность острия. Однако вблизи острия зависимость параметров от φ определяется теми же УКТ. Такие локально-конические течения (ЛКТ) являются строго коническими в центре коничности и близки к ним в малой его окрестности. Такая же картина имеет место при осесимметричном обтекании с присоединенной УВ любых заостренных тел. В малой окрестности носика оно близко к обтеканию кругового конуса с тем же углом при вершине, а в носике тождественно этому обтеканию.

В работе [1. Разд. 157] на основе анализа УКТ свойства ЛКТ используются для доказательства невозможности регулярного отражения стационарных УВ от оси симметрии: «Другая задача, в которой... содержится коническое течение, — это отражение конической УВ. Постоянное параллельное течение отклоняется к оси “падающей” УВ и снова

Работа выполнена при финансовой поддержке Российского фонда фундаментальных исследований (код проекта 11-01-00668-а)

становится параллельным, проходя через “отраженную” УВ. Можно было бы построить такое течение, считая его чисто коническим, между двумя УВ и после отраженной УВ. На самом деле течения такого типа не существуют, что можно видеть из рассуждений, основанных на знаке v_{uu} . (Здесь u, v — осевая и радиальная компоненты вектора скорости газа \mathbf{V} ; $v_{uu} = d^2v/du^2$.) Аналогичное утверждение приведено в § 16 работы [4], посвященном исследованию осесимметричных конических течений.

Ниже сначала рассматриваются общие вопросы теории осесимметричных локально-конических и конических течений, в частности тех, которые должны реализовываться при сверхзвуковом обтекании кормовой части тела вращения с конечным углом заострения и при регулярном отражении УВ от оси симметрии. Затем приводятся результаты расчетов параметров большого количества локально-конических и конических течений, в том числе течений, соответствующих рассмотренному в [11] сверхзвуковому обтеканию кормовой части тела вращения и регулярному отражению УВ любых семейств от оси симметрии. Согласно [1] доказательство невозможности такого отражения сводится к установлению отсутствия решений УКТ, в силу которых поток, текущий к оси симметрии вдоль кормовой части тела вращения или повернутый к ней падающей УВ, может вновь приобрести осевое направление в УВ и непрерывных ЛКТ.

Расчеты выполнены для течения в диффузоре А. Буземана, потока, обтекающего кормовую часть тела вращения А. А. Никольского, и КТ продуктов сгорания горючей смеси с уравнениями состояния совершенного газа за детонационной волной Чепмена — Жуге. Для последних в работе [8] впервые построены автомодельные решения с расходящимися детонационной и ударной волнами, присоединенными к вершине кругового конуса. Такие идущие из точки сильные разрывы “одного семейства” оказались возможными в нормальном газе (с положительной “фундаментальной” производной $\omega_{pp} \equiv (\partial^2\omega/\partial p^2)_s$, где ω — удельный объем; p — давление; s — удельная энтропия).

Обсуждаемые вопросы частично исследованы в [12–14]. Конические течения с закруткой рассмотрены в [15].

1. Общая теория осесимметричных незакрученных локально-конических и конических течений. Описанные выше свойства ЛКТ следуют из уравнений для давления p и угла θ между вектором скорости газа \mathbf{V} и направленной по оси симметрии осью x декартовых (в меридиональной плоскости) координат x, y . Для осесимметричных незакрученных течений идеального газа в полярных координатах r, φ при произвольном положении их начала (точки o) на оси x эти уравнения принимают вид

$$\begin{aligned} & [M^2 \cos^2(\varphi - \theta) - 1]p_r = r^{-1}P(p_\varphi, \dots), \\ & P(p_\varphi, \dots) = M^2 p_\varphi \sin(\varphi - \theta) \cos(\varphi - \theta) - \rho V^2 \theta_\varphi - \rho V^2 \sin \theta \cos(\varphi - \theta) \sin^{-1} \varphi, \\ & [M^2 \cos^2(\varphi - \theta) - 1]\rho V^2 \theta_r = r^{-1}\Theta(p_\varphi, \dots), \end{aligned} \quad (1.1)$$

$$\Theta(p_\varphi, \dots) = (1 - M^2)p_\varphi + \rho V^2 \theta_\varphi M^2 \sin(\varphi - \theta) \cos(\varphi - \theta) + \rho V^2 \sin \theta \sin(\varphi - \theta) \sin^{-1} \varphi.$$

Здесь $V = |\mathbf{V}|$; $M = V/a$ — число Маха; $\rho = 1/\omega$ и a — плотность и скорость звука, являющиеся известными функциями p и s ; p_r, p_φ, \dots — производные по r и φ . Еще два уравнения являются конечными интегралами полной энтальпии и энтропии (получаются при введении функции тока).

При произвольном выборе точки o правые части уравнений (1.1) — величины того же порядка, что и левые части, и соотношения (1.1) — записанные в координатах r, φ уравнения в частных производных. В случае если o — центр коничности, необходимым условием локальной коничности является отличие от нуля y -компоненты скорости $v = V \sin \theta$ как минимум на одном из лучей, направленных под углом $\varphi = \text{const}$. Для тел, заостренных

спереди или сзади, θ — полуугол заострения, не равный нулю, а для косої УВ, приходящей на ось симметрии (если это возможно) или уходящей от нее (как при обтекании заостренных тел), θ — угол за УВ. Вследствие этого при $r \rightarrow 0$ в выражениях для P и Θ появляются пропорциональные $\rho V^2 \sin \theta$ конечные слагаемые, которые должны компенсировать также конечные слагаемые p_φ и $\rho V^2 \theta_\varphi$. Поэтому в точке o при всех φ , для которых $V \sin \theta \neq 0$, должны выполняться уравнения $P = 0$, $\Theta = 0$. В противном случае при приближении к этой точке $|p|$ и $|\theta|$ увеличивались бы пропорционально $\ln |r|$. Однако в стационарных течениях $|p|$ и $|\theta|$ конечны (p вследствие конечности энтропии и полной энтальпии), поэтому уравнения $P = 0$, $\Theta = 0$ или следующие из них уравнения

$$p_\varphi = \frac{\rho V^2 \sin \theta \sin(\varphi - \theta)}{[M^2 \sin^2(\varphi - \theta) - 1] \sin \varphi}, \quad V^2 \theta_\varphi = \frac{V^2 \sin \theta \cos(\varphi - \theta)}{[M^2 \sin^2(\varphi - \theta) - 1] \sin \varphi} \quad (1.2)$$

точно описывают ЛКТ в центре коничности и приближенно в его малой окрестности. В частности, это имело бы место при регулярном отражении от оси симметрии косої УВ любого семейства, причем в малой окрестности точки отражения падающая УВ и ряд других рассматриваемых далее кривых были бы близки к лучам с углом наклона $\varphi = \text{const}$. При $V^2 \rightarrow 0$ второе уравнение (1.2) выполняется вследствие наличия этого множителя.

Аналогичный анализ (без введения необходимого условия локальной коничности — неравенства $V \sin \theta \neq 0$) уравнений (1.1), умноженных на $r/(\rho V^2)$, а при $M \geq 1$ — уравнений, эквивалентных (1.2), проведен в [16]. Однако и до выхода работы [12] следствия этих уравнений считались очевидными. Так, при расчете параметров обтекания заостренных тел вращения с криволинейной образующей течение в малой окрестности острия с присоединенной к нему УВ заменялось на коническое даже при углах атаки, не равных нулю.

Таким образом, в центре коничности для ЛКТ или во всем КТ справедливы уравнения (1.2) или эквивалентные им УКТ в виде [1–7]

$$v_{uu} \equiv \frac{d^2 v}{du^2} = N \frac{1 + v_u^2}{a^2 v}, \quad v_u = -\text{ctg} \varphi, \quad \varphi_u = \frac{N}{a^2 v}, \quad (1.3)$$

$$N = a^2 - V_n^2, \quad V_n^2 = (u + v v_u)^2 / (1 + v_u^2) = (u \sin \varphi - v \cos \varphi)^2.$$

Здесь все параметры — функции только x -компоненты скорости u ; V_n — проекция \mathbf{V} на нормаль к лучу, направленному под углом $\varphi = \text{const}$; в качестве масштабов скорости, плотности и давления выбраны критические скорость a_* , плотность ρ_* и $\rho_* a_*^2$. Рассматриваемые газы полагаются нормальными (с положительной фундаментальной производной ω_{pp}), расчеты выполнены для совершенного газа, для которого $a^2 = [\gamma + 1 - (\gamma - 1)V^2]/2$, как правило, при $\gamma = 1,4$. В нормальном газе и газе, не являющемся нормальным (с $\omega_{pp} < 0$), конические течения различаются принципиально. Например, конус обтекается сверхзвуковым потоком не являющегося нормальным газа без головной УВ.

Отношение $M_n = V_n/a$ имеет тот же смысл, что и число Маха, определяющее тип двумерных КТ [6, 7]. Исходя из этого одномерные (осесимметричные) КТ также будем называть конически сверхзвуковыми ($M_n > 1$), конически дозвуковыми ($M_n < 1$), например за УВ и на конусе, а луч, на котором $M_n = 1$, — конически звуковым. Следует отметить, что за исключением одного случая непрерывное изменение знака N , т. е. типа осесимметричных КТ, в отличие от двумерных, невозможно. Это утверждение справедливо, если равномерный осевой поток не рассматривать в качестве КТ.

Умножив уравнения (1.1) на r , а затем устремив r к нулю, находим, что уравнения $P = 0$, $\Theta = 0$ и следующие из них равенства (1.2) и уравнения, получающиеся после перехода в (1.3) к независимой переменной φ , выполняются и в тех точках на оси x , в которых $v \equiv V \sin \theta = 0$. Однако в случае отсутствия частных производных по r , исчезнувших

при $r = 0$ вследствие умножения на r , из этих уравнений следует, что при $V \neq 0$ в таких точках на оси x от φ не зависят p и θ , а при $V = 0$, т. е. в точке торможения, — только p . При $V = 0$ второе уравнение (1.2), становясь тождеством, не определяет зависимость $\theta(\varphi)$. Следовательно, для описания течения в окрестности таких точек переход к полярным координатам нецелесообразен. В переменных x, y уравнения для p и θ в таких точках принимают вид

$$(M^2 - 1) \frac{\partial p}{\partial x} + 2\rho V^2 \frac{\partial \theta}{\partial y} = 0, \quad \frac{\partial p}{\partial y} = 0.$$

В равномерном осевом потоке угол θ и все производные тождественно равны нулю, поэтому параметры такого течения удовлетворяют и исходным уравнениям (1.1), и уравнениям конического течения $P = 0$, $\Theta = 0$, а при независимой переменной φ — и всем следующим из них равенствам. При этом для любого положения точки o на оси симметрии $M_n > 1$ в секторе между C^- - и C^+ -характеристиками, приходящими в точку o , и $M_n < 1$ вне этого сектора с непрерывным переходом через единицу на его границах. Данный случай можно считать примером непрерывного изменения типа конического течения и знака разности N , входящей в уравнения (1.3). Однако в рассматриваемом случае изменения M_n и N обусловлены лишь ориентацией луча, на нормаль к которому проецируется параллельная оси x постоянная скорость потока, а сам поток в центре коничности не удовлетворяет необходимому условию локальной коничности, т. е. в соответствии со сказанным выше такой поток не следует считать КТ. Однако в секторе между C^- - и C^+ -характеристиками равномерного потока, как и в неравномерных конически сверхзвуковых КТ, любой луч с углом наклона $\varphi = \text{const}$ (или его часть) может стать УВ (левой границей КТ).

Использование первого уравнения (1.3) и выражения V_n^2 , определенного по u, v, v_u , принято считать более предпочтительным, поскольку интегрирование одного этого уравнения позволяет строить кривые КТ $v = v(u)$ в плоскости годографа. Однако в действительности при одинаково простом численном интегрировании одного уравнения второго порядка — первого уравнения (1.3) — и двух уравнений первого порядка — второго и третьего уравнений (1.3) — использование двух уравнений упрощает анализ и построение КТ.

В случае если газ течет в направлении слева направо, а $y > 0$, начиная от левой границы КТ угол φ всегда уменьшается. Так, при обтекании конуса он уменьшается от угла наклона УВ φ_{SW} до полуугла при вершине конуса $\varphi = \theta_c$. За УВ конечной интенсивности $v_+ \geq 0$, $V_{n+}^2 < a_+^2$, $N_+ > 0$ (индекс “+” соответствует параметрам за УВ), т. е. течение является конически дозвуковым и правая часть третьего уравнения (1.3) положительна. Поэтому для уменьшения угла φ x -компоненту скорости u необходимо уменьшать от ее значения u_+ за УВ до неизвестной заранее величины u_c . При этом в силу второго уравнения (1.3) с отрицательной правой частью y -компонента скорости v , а также $\text{tg } \theta = v/u$ будут увеличиваться. С учетом изоэнтропичности и изоэнергетичности КТ и формулы $a^2 = -\omega^2/\omega_p$ имеем

$$N_u = -N \frac{\sin 2(\varphi - \theta)}{v \sin^2 \mu} - V \rho^3 a^4 \omega_{pp} \frac{\sin(\varphi - \theta)}{\sin \varphi}, \quad (1.4)$$

где μ — угол Маха ($\sin \mu = 1/M$); $\varphi - \theta \geq 0$ ($\varphi - \theta = 0$ только на образующей конуса). Для совершенного газа $M^2 = 2V^2/[\gamma + 1 - (\gamma - 1)V^2]$, $\rho^3 a^4 \omega_{pp} = \gamma + 1$ [6, 7], и при $N > 0$ правая часть уравнения (1.4) отрицательна. Поэтому при обтекании конуса параметр N монотонно увеличивается с уменьшением u и течение остается конически дозвуковым.

2. Анализ и результаты расчета осесимметричных незакрученных локально-конических и конических течений. Результаты интегрирования уравнений (1.3) для скорости потока перед УВ $V_\infty = 2,1$ ($M_\infty = 3,724$) приведены на рис. 1.

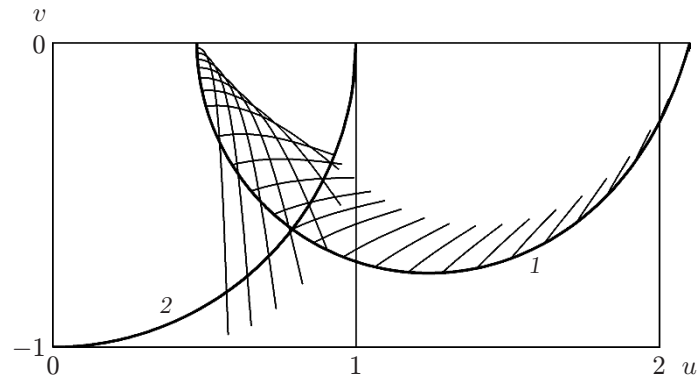


Рис. 1. Звуковая окружность (1), ударная поляра (2) и кривые КТ при $V_\infty = 2,1$, $M_\infty \approx 3,72$

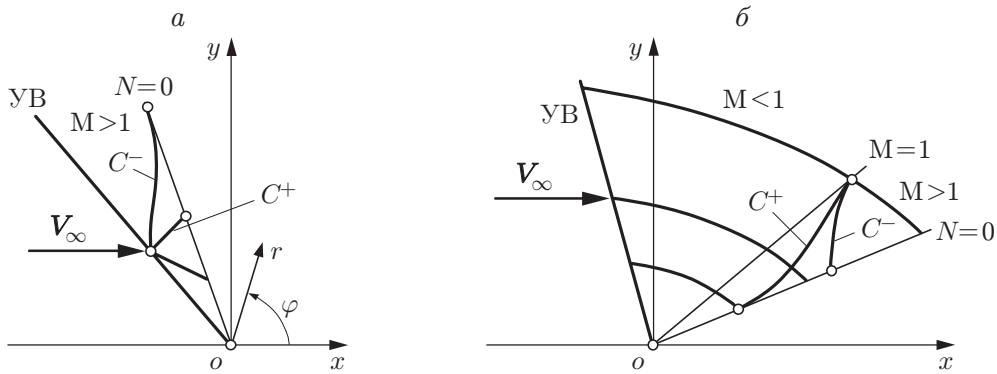


Рис. 2. Ударная волна и C^\pm -характеристики в плоскости (x, y) :
 а — случай сверхзвукового течения за УВ, б — случай дозвукового течения за УВ

В плоскости (u, v) построены звуковая окружность $V = 1$, нижняя половина ударной поляры, соответствующая идущим к оси симметрии УВ слабого и сильного семейств, и начинающиеся на ударной поляре кривые КТ. Кривые КТ, начинающиеся на поляре при $V > 1$, описывают одно из КТ [10] в конечных не примыкающих к оси областях плоскости (x, y) .

Согласно второму уравнению (1.3) направление нормалей к кривым КТ в плоскости (u, v) (см. рис. 1) совпадает с направлением лучей, расположенных под углом $\varphi = \text{const}$ в плоскости (x, y) (рис. 2, а). В рассмотренных случаях углы φ для точек на ударной поляре, т. е. углы φ_{SW} наклона УВ, находятся в диапазоне $\pi/2 \leq \varphi_{SW} < \pi$, за УВ $M_n < 1$, $N > 0$, $v_{uu} < 0$, кривые КТ являются выпуклыми, а нормали к ним при движении от точек на поляре поворачиваются по часовой стрелке. Это имеет место до луча с углом наклона $\varphi = \varphi_{N0}$, на котором $N = a^2 - V_n^2$ обращается в нуль.

На приведенных на рис. 1 кривых КТ компонента скорости v отрицательна. Интегрирование уравнений (1.3) проводится до величины $u = u_{N0}$ и соответствующего ей луча с углом наклона $\varphi = \varphi_{N0}$. Так как v не обращается в нуль одновременно с N , в силу третьего уравнения (1.3) кривую КТ продолжить невозможно. Действительно, если направление изменения u сохраняется, угол φ начинает увеличиваться, и на плоскости (x, y) лучи, направленные под углом $\varphi = \text{const}$, покрывают рассчитанный ранее сектор КТ с новыми значениями параметров потока. Если при достижении значения $N = 0$ параметр u изменять в обратном направлении, то с точностью до погрешностей интегрирования повторится рассчитанное КТ вплоть до УВ и соответствующей ей точки поляры. Несмотря

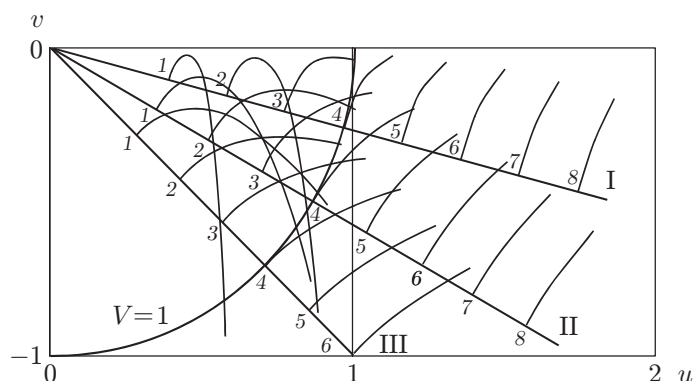


Рис. 3. Кривые КТ в плоскости годографа при различных значениях θ_o, V_o :
 I — $\theta_o = -15^\circ$, II — $\theta_o = -30^\circ$, III — $\theta_o = -45^\circ$; 1 — $V_o = 0,4$, 2 — $V_o = 0,6$, 3 — $V_o = 0,8$, 4 — $V_o = 1,0$, 5 — $V_o = 1,2$, 6 — $V_o = 1,4$, 7 — $V_o = 1,6$, 8 — $V_o = 1,8$

на то что при $\varphi = \varphi_{N0}$ $V_n^2 = a^2$, этот луч не является C^+ - или C^- -характеристикой, поскольку на нем не выполняется ни одно из условий совместности [6, 7]

$$d\theta \pm \frac{\text{ctg } \mu}{\rho V^2} dp \pm \frac{\sin \theta \sin \mu}{y \sin(\theta \pm \mu)} dy = 0. \tag{2.1}$$

На таком луче p и θ постоянны, а при $\theta \neq 0$ третьи слагаемые отличны от нуля. Здесь и далее при наличии в уравнениях двух знаков верхний (нижний) соответствует C^+ - (C^-)-характеристике.

Для кривых КТ, начинающихся на ударной поляре вне звуковой окружности в точках, соответствующих УВ слабого семейства, к УВ ($\varphi = \varphi_{SW}$) примыкает сектор сверхзвукового ($M > 1$), но конически дозвукового течения (см. рис. 2,а). При $\varphi = \varphi_{N0}$ на кривой КТ $M_n = 1$. Для кривых КТ, начинающихся на ударной поляре внутри звуковой окружности (в точках, соответствующих УВ сильного семейства), к УВ примыкает сектор дозвукового течения (см. рис. 2,б). Однако при $\varphi = \varphi_{N0}$ на кривой КТ $M_n = 1$, поэтому на данном луче в общем случае $M > M_n = 1$, и при некотором $\varphi_{M1} \geq \varphi_{N0}$ происходит переход через скорость звука ($M = 1$).

Если допустить обтекание остроконечной кормовой части тела вращения с ненулевым углом заострения ($\theta_o < 0$) без торможения потока в его концевой точке o , то в силу неравенства $V_o \sin \theta_o \neq 0$ такое течение будет локально-коническим при любом $V_o > 0$. Из условия непротекания на теле следует, что $N_o = a_o^2 > 0$, а непрерывное изменение знака N невозможно. Это видно на рис. 3, на котором приведены кривые КТ, рассчитанные для различных значений θ_o и V_o . Поверхности тела соответствуют углы $\varphi_o = \pi + \theta_o$ и начальные точки кривых КТ, лежащие на прямых $v/u = \text{tg } \theta_o$. Кривые КТ заканчиваются при $N = 0$, чему соответствуют углы $\varphi = \varphi_{N0}$. Рассчитанные ЛКТ, оставаясь, как и на поверхности тела, конически дозвуковыми, существенно различаются при сверх- и дозвуковых скоростях V_o . При $V_o \geq 1$ значения φ_o, φ_{N0} близки и лучи с углом наклона $\varphi = \varphi_{N0}$, являющиеся нормальными к кривым КТ, как и лучи с углом наклона $\varphi = \varphi_o$, лежат во втором квадранте плоскости (x, y) с началом координат в точке o . При $V_o < 1$ направление лучей, расположенных под углом $\varphi = \varphi_{N0}$, близко к направлению оси x . Тем не менее все построенные конически дозвуковые течения нельзя продолжить за луч, направленный под углом $\varphi = \varphi_{N0}$, и обтекание остроконечной кормовой части с углом $\theta_o < 0$ возможно только при полном торможении потока в точке o . В этом случае при конечном изменении угла θ в этой точке $V \sin \theta \rightarrow 0$ при $r \rightarrow 0$, и уравнения (1.1) с левыми и правыми частями одного порядка остаются уравнениями в частных производных в сколь угодно малой окрестности острия.

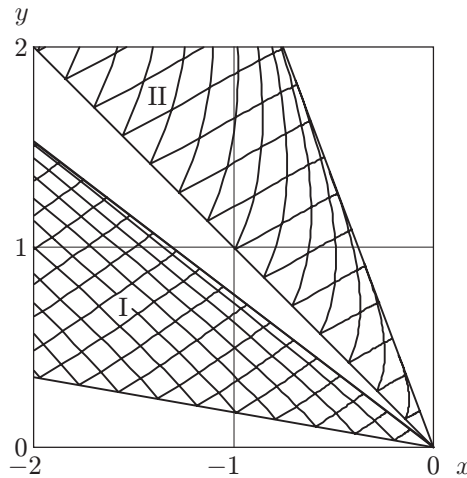


Рис. 4. C^\pm -характеристики в плоскости (x, y) при различных значениях θ_o, V_o :
 I — $\theta_o = -15^\circ, V_o = 1,2$; II — $\theta_o = -45^\circ, V_o = 1,05$

В плоскости (x, y) C^\pm -характеристики КТ получаются путем интегрирования уравнений [13]

$$\frac{y_u}{\sin(\theta \pm \mu)} = \frac{x_u}{\cos(\theta \pm \mu)} = \frac{y \sin(\varphi - \theta \pm \mu)}{V \sin \varphi \sin \theta \sin^2 \mu}. \quad (2.2)$$

При выводе уравнений C^\pm -характеристик учитывалось, что на них $dy/dx = \operatorname{tg}(\theta \pm \mu)$. Результаты интегрирования для двух пар значений θ_o, V_o приведены на рис. 4 с C^\pm -характеристиками между лучами, направленными под углами $\varphi = \varphi_o$ и $\varphi = \varphi_{N0}$.

КТ А. Буземана [1–7] и А. А. Никольского [3–7, 9] примыкают к равномерному потоку по C^- - и C^+ -характеристикам с углами $\varphi = \varphi_\infty = \pi - \mu_\infty$ и μ_∞ соответственно. На таких характеристиках $N = v = \theta = 0$, а согласно уравнению (1.4) и второму уравнению (1.3) справа от них $(N_u)_{\infty+} = (V\rho^3 a^4 \omega_{pp})_\infty$ (индекс “+” соответствует значению разрывной производной справа от характеристики). При отходе от этих характеристик, выбрав в качестве независимой переменной компоненту скорости v и ограничившись совершенным газом, для определения N, φ, u получаем

$$\begin{aligned} \frac{dN}{dv} &= N \frac{\sin \varphi \sin 2(\varphi - \theta)}{v \sin^2 \mu \cos \varphi} + (\gamma + 1)V \frac{\sin(\varphi - \theta)}{\cos \varphi}, \\ \frac{d\varphi}{dv} &= -N \frac{\operatorname{tg} \varphi}{a^2 v}, \quad \frac{du}{dv} = -\operatorname{tg} \varphi, \quad N = a^2 - (u \sin \varphi - v \cos \varphi)^2. \end{aligned} \quad (2.3)$$

Из (2.3) для определения N вблизи разрывной характеристики (при малых $v, N, \delta\varphi = \varphi - \varphi_\infty$ и $\delta u = u - V_\infty$) получаем уравнение Риккати (верхние знаки — для КТ А. А. Никольского, нижние — для КТ А. Буземана)

$$\frac{dN}{dv} = \frac{2 \mp fv}{v} N - \frac{c}{v} N^2 \pm b + gv + \dots = \frac{2N \pm bv - cN^2 \mp fvN + gv^2}{v} + \dots, \quad (2.4)$$

где

$$\begin{aligned} b &= \frac{\gamma + 1}{\operatorname{ctg} \mu_\infty} V_\infty, & c &= \frac{2}{V_\infty^2 \sin^2 \mu_\infty}, \\ f &= \frac{\gamma + 1 - 4 \cos^2 \mu_\infty}{2V_\infty \sin \mu_\infty \cos^3 \mu_\infty}, & g &= (\gamma + 1) \frac{\gamma + 1 - 2 \cos^2 \mu_\infty}{2 \cos^4 \mu_\infty}. \end{aligned}$$

При получении уравнения (2.4) правая часть первого уравнения (2.3) преобразовывалась с учетом того, что согласно выражению для N и интегралу полной энтальпии в главных порядках $\delta\varphi$ — линейная форма v , N и δu , а в силу третьего уравнения (2.3) $\delta u = -v \operatorname{tg} \varphi_\infty + \dots$; точка $N = v = 0$ — особая точка первого уравнения (2.3) и уравнения (2.4).

В окрестности особой точки решением уравнения Риккати (2.4) является разложение

$$N = \mp \frac{(\gamma + 1)V_\infty}{\operatorname{ctg} \mu_\infty} v + (\gamma + 1) \frac{\gamma + 1 - 2(2\gamma + 3) \cos^2 \mu_\infty}{2 \cos^4 \mu_\infty} v^2 \ln |v| + Cv^2 + \dots \quad (2.5)$$

с постоянной интегрирования C . Подставляя N из (2.5) в линеаризованное относительно $\delta\varphi$ второе уравнение (2.3), получаем линейное уравнение для $\delta\varphi$, проинтегрировав которое находим

$$\begin{aligned} \delta\varphi = & \frac{(\gamma + 1)v}{V_\infty \cos^2 \mu_\infty} \mp (\gamma + 1) \frac{\gamma + 1 - 2(2\gamma + 3) \cos^2 \mu_\infty}{4V_\infty^2 \sin \mu_\infty \cos^5 \mu_\infty} v^2 \ln |v| \pm \\ & \pm \frac{(\gamma + 1)[5(\gamma + 1) - 2(4\gamma + 1) \cos^2 \mu_\infty] - 4C \cos^4 \mu_\infty}{8V_\infty^2 \sin \mu_\infty \cos^5 \mu_\infty} v^2 + \dots \end{aligned} \quad (2.6)$$

После подстановки (2.6) в третье уравнение (2.3) и интегрирования получаем

$$\begin{aligned} \delta u = & \mp \frac{v}{\operatorname{ctg} \mu_\infty} - \frac{(\gamma + 1)v^2}{2V_\infty \cos^4 \mu_\infty} \pm (\gamma + 1) \frac{\gamma + 1 - 2(2\gamma + 3) \cos^2 \mu_\infty}{12V_\infty^2 \sin \mu_\infty \cos^7 \mu_\infty} v^3 \ln |v| \mp \\ & \mp \frac{(\gamma + 1)[41(\gamma + 1) - 14(4\gamma + 3) \cos^2 \mu_\infty] - 12C \cos^4 \mu_\infty}{72V_\infty^2 \sin \mu_\infty \cos^7 \mu_\infty} v^3 + \dots \end{aligned} \quad (2.7)$$

Решения (2.5)–(2.7) с одной постоянной интегрирования C позволяют строить однопараметрическое семейство начальных участков соответствующих КТ, примыкающих к равномерному потоку. Для рассматриваемых течений угол φ должен уменьшаться, поэтому значение $\delta\varphi$ должно быть отрицательным, тогда в соответствии с главным слагаемым решения (2.6) отрицательным будет и v . Следовательно, для КТ в диффузоре А. Буземана, которое примыкает к равномерному потоку по C^- -характеристике, в силу решения (2.7) с нижним знаком величина u , а значит и V , будет уменьшаться (КТ торможения). При этом из решения (2.5) с нижним знаком следует, что в этом КТ значение N становится отрицательным, а течение — конически сверхзвуковым до луча, направленного под углом $\varphi = \varphi_{N0} > 0$. За этот луч рассматриваемое КТ продолжить нельзя, однако по любому лучу, расположенному под углом $\varphi_\infty > \varphi > \varphi_{N0}$, можно направить УВ, за которой разность N принимает положительные значения, а течение становится конически дозвуковым. Ниже показано, каким образом его можно продолжить за УВ. В противоположность этому течению КТ А. А. Никольского вблизи кормовых частей, начальные участки которых описываются решениями (2.5), (2.7) с верхними знаками, являются конически дозвуковыми течениями разрежения до луча с углом наклона $\varphi = \varphi_{N0} > 0$.

Непрерывно примыкающие к равномерному потоку КТ А. Буземана и А. А. Никольского описаны в работах [1, 3–7], однако примеры таких КТ, построенные еще в докомпьютерную эпоху, до последнего времени были лишь у авторов этих КТ (один диффузор для $M_\infty = 3$ — в [2] и десять кормовых частей при $M_\infty = 1,2; 1,5; 1,7; 2,0$ — в [9]). Исключения составляют два примера, приведенные в [12]. В расчетах, выполненных для этих примеров, обнаружены особенности, требующие отдельного исследования.

Рассмотрим поведение интегральных кривых первого уравнения (2.3) и следующего из него уравнения (2.4) в окрестности узла $N = v = 0$. Отбрасывая квадратичные члены в числителе правой части уравнения (2.4), получаем решение (2.5) без слагаемого

с $v^2 \ln |v|$. Первое решение с логарифмическим слагаемым построил А. Бузман [2] (см. также [3, 12]). При $v \rightarrow 0$ это слагаемое преобладает над Cv^2 с константой C , определяющей однопараметрическое семейство решений. Учет логарифмического слагаемого в решении (2.5) изменяет выражения (2.6), (2.7) для φ и u и приводит к тому, что третьи производные по u от v , N и φ на начальной характеристике становятся бесконечными (при $u \rightarrow V_\infty$). Вследствие этого правильное определение влияния величины C на решение также возможно только при значительном удалении от узла, т. е. при не очень малых $\Delta = |v|$. Для проверки точности разложений (2.5)–(2.7) при выбранном начальном значении $v = -\Delta$ по формулам (2.6), (2.7) определялись значения $\varphi(-\Delta)$ и $u(-\Delta)$, а затем от них уравнения (1.3) интегрировались по u до значения $u = V_\infty$ (или до $v = 0$). В типичных примерах ($M_\infty = 3$, $-50 \leq C \leq 50$, $\Delta = 0,01$) отклонение от нуля значений N и v при $u = V_\infty$ (или $\delta\varphi$ и δu при $v = 0$) не превышало 10^{-6} . После столь точного для заданного значения V_∞ “вхождения в узел” уравнения (1.3) от тех же значений $\varphi(-\Delta)$ и $u(-\Delta)$ при различных C интегрировались в направлении уменьшения u .

Развитый подход позволяет с высокой точностью находить зависимость решения от числа Маха M_∞ и константы C . Для $M_\infty = 3$, $\gamma = 1,405$ и различных значений C результаты расчетов представлены на рис. 5–8. На рис. 5, *a* показано изменение N в интервале от $N = 0$ при $\varphi = \varphi_\infty \approx 2,802$ до $N = 0$ при $\varphi = \varphi_{N0}$. Сплошные кривые на рис. 5, *б* для тех же C соответствуют углам наклона вектора скорости θ_+ за УВ, направленными по соответствующим лучам с углом наклона $\varphi = \text{const}$. Для кривых 1–5 эти углы отрицательны, для кривой 6 ($C = -32,0131$) впервые в одной точке значение θ_+ становится равным нулю, на кривых 7–10 ($C < -32,0131$) таких точек две, а между ними углы θ_+ положительные. Пунктирные кривые на рис. 5 соединяют точки, соответствующие звуковой скорости потока за УВ ($M_+ = 1$). Между ними расположены УВ сильного семейства с $M_+ < 1$. От $\varphi = \varphi_\infty$ до кривой 11 и от кривой 12 до $\varphi = \varphi_{N0}$ находятся лучи с углом наклона $\varphi = \text{const}$ (УВ слабого семейства с $M_+ > 1$).

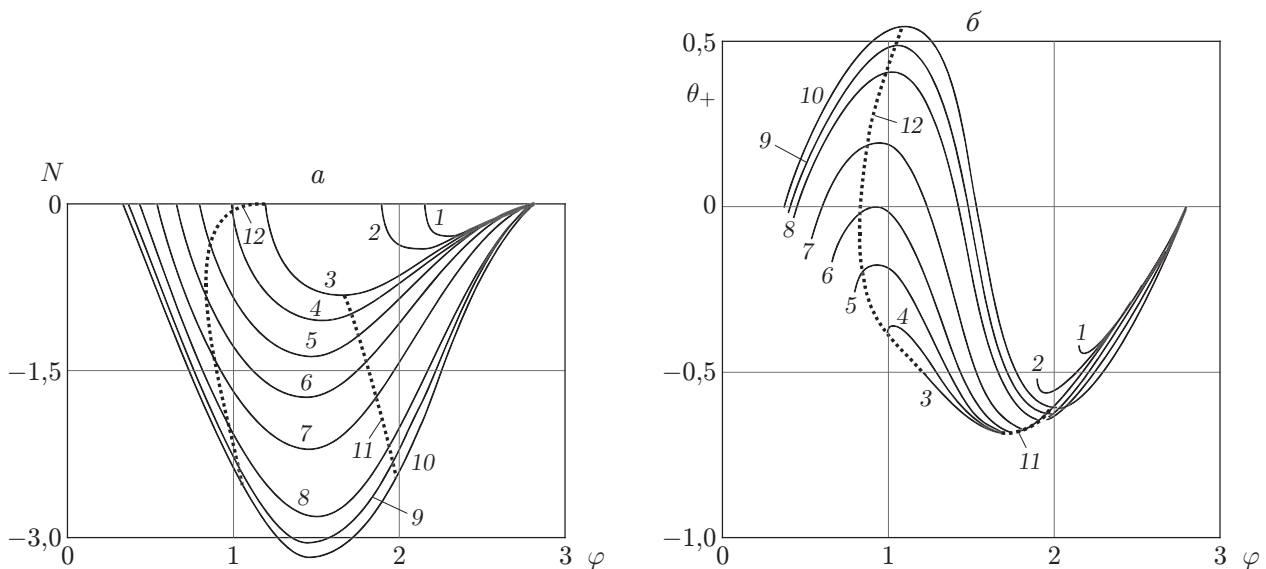


Рис. 5. Зависимости $N(\varphi)$ (*a*) и $\theta_+(\varphi)$ (*б*) при $M_\infty = 3$, $\gamma = 1,405$ и различных значениях C :

1 — $C = -31,9731$, 2 — $C = -31,9781$, 3 — $C = -31,9831$, 4 — $C = -31,9860$, 5 — $C = -31,9931$, 6 — $C = -32,0131$, 7 — $C = -32,1130$, 8 — $C = -33,6131$, 9 — $C = -40,0$, 10 — $C = -100,0$; 11, 12 — звуковая скорость потока за УВ

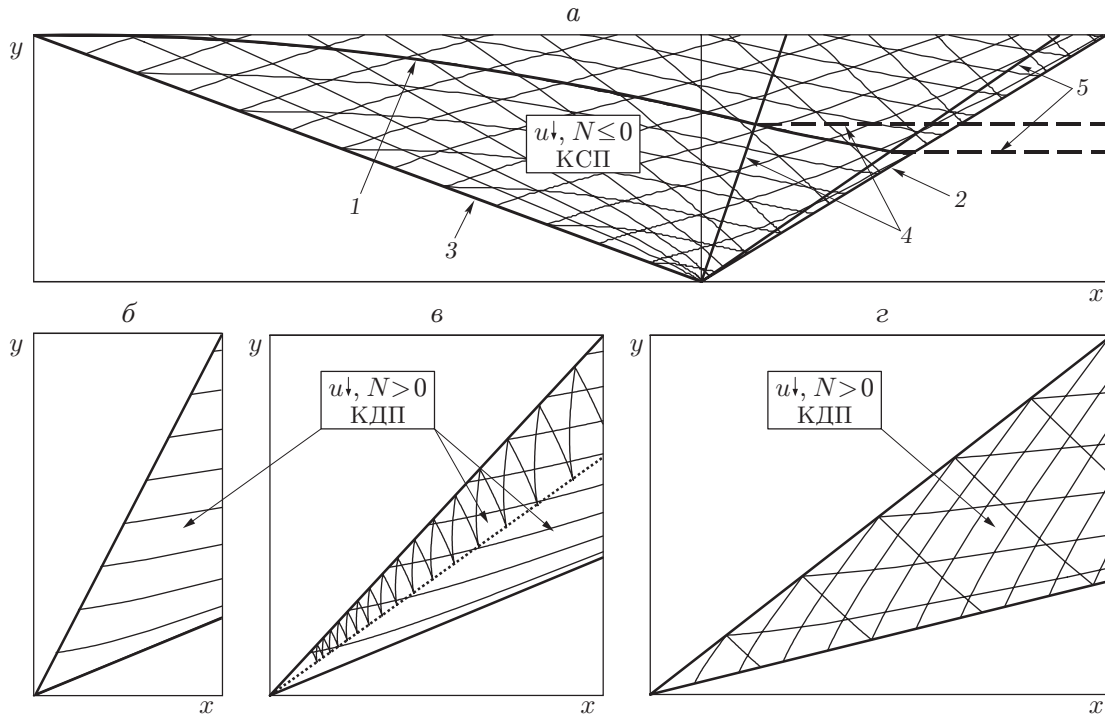


Рис. 6. Области конических сверхзвукового и дозвукового течений в ТДБ (а) и в диффузорах с конусом (б-г) при $M_\infty = 3$, $C = -32,1130$:
 б — $\varphi_{SW} = 63^\circ$, в — $\varphi_{SW} = 48^\circ$, г — $\varphi_{SW} = 38^\circ$; 1 — линия тока, 2 — луч с углом наклона $\varphi = \varphi_{N0}$, 3 — начальная C^- -характеристика, 4 — УВ сильного семейства, 5 — УВ слабого семейства; пунктирная линия — звуковая линия $M = 1$

Описанное выше качественное изменение решения имеет место в крайне узком диапазоне значений константы C . Вне этого интервала такие изменения отсутствуют. При $C > -31,9731$ кривые стягиваются к точке $\varphi = \varphi_\infty$ и принципиально не отличаются от кривых 1, 2. При $C < -33,6131$ увеличение $|C|$ приводит к быстрому сближению результатов (кривые 8–10).

Традиционный диффузор А. Буземана (ТДБ) с равномерным потоком за УВ, идущей из совпадающего с началом координат центра коничности, получается при $\theta_+ = 0$. Как следует из рис. 5,б, при $M_\infty = 3$ такие диффузоры можно построить при $C \leq -32,0131$ (случаю $C = -32,0131$ соответствует единственный ТДБ с дозвуковым потоком на выходе). Для каждого значения $C < -32,0131$ получается пара ТДБ, причем уже при незначительном уменьшении C один ТДБ — с УВ сильного ($\varphi = \varphi_{SW1}$) семейства, а другой — с УВ слабого ($\varphi = \varphi_{SW2}$) семейства. До первой УВ, т. е. при $\varphi_{SW1} \leq \varphi \leq \varphi_\infty$ оба решения совпадают. На рис. 6,а приведен пример такого КТ, соответствующий кривым 7 на рис. 5 ($M_\infty = 3$, $C = -32,1130$). При отсутствии в силу коничности течения шкалы на осях x и y на рис. 6,а показаны линия тока, луч $\varphi = \varphi_{N0}$, C^\pm -характеристики включая начальную (линия 3) и УВ сильного и слабого семейств, за которыми $\theta_+ = 0$.

Уравнения линий тока

$$x_u = \frac{-yN \cos \theta}{a^2 v \sin \varphi \sin (\varphi - \theta)}, \quad y_u = \frac{-yN \sin \theta}{a^2 v \sin \varphi \sin (\varphi - \theta)} \quad (2.8)$$

получены с учетом того, что на них $dy/dx = \operatorname{tg} \theta$. Линии тока можно также строить по эквивалентным уравнениям (2.8) конечным соотношениям

$$y^2 \rho(u + vv_u) = y^2 \rho(u - v \operatorname{ctg} \varphi) = G, \quad x = -yv_u = y \operatorname{ctg} \varphi,$$

где параметр G имеет постоянное значение на каждой линии тока. В приближении идеального газа любую линию тока до УВ (линий 4 или 5) можно заменить контуром, продолженным за УВ горизонтальной прямой. На рис. 6,а одна такая линия тока показана сплошной кривой 1, а два ее продолжения — штриховыми прямыми 4, 5. Полученные в этом примере ТДБ при $\varphi_{SW1} \approx 70^\circ$, $M_{-1} \approx 2,09$ и $\varphi_{SW2} \approx 34^\circ$, $M_{-2} \approx 1,80$ при поджатиях по $y \approx 0,64$ (линии 4), $y \approx 0,53$ (линии 5) тормозят поток до значений $M_{+1} \approx 0,60$ и $M_{+2} \approx 1,48$. На рис. 6 и, как правило, далее масштабы по осям x и y одинаковы. Направления изменения u , ведущего к уменьшению полярного угла φ , показаны стрелками (\uparrow — увеличение, \downarrow — уменьшение).

При $\varphi_{SW2} < \varphi_{SW} < \varphi_{SW1}$ для каждой УВ, за которой согласно рис. 5,б $\theta_+ > 0$, можно построить КТ, соответствующее обтеканию кругового конуса с вершиной в том же центре коничности. Такое КТ получается путем интегрирования уравнений (1.3) от $\varphi = \varphi_{SW}$, $u = u_+$ и прочих параметров за УВ в направлении уменьшения u до выполнения равенства $\varphi = \theta$. Результаты построения таких КТ при $M_\infty = 3$, $C = -32,1130$ представлены на рис. 6,б–г. Показаны УВ (сплошные прямые слева), образующие конусов (сплошные прямые справа), линии тока, а при $M \geq 1$ — C^\pm -характеристики. До каждой УВ линии тока и C^\pm -характеристики тождественны представленным на рис. 6,а. Слева от УВ поток конически сверхзвуковой (КСП), справа — конически дозвуковой (КДП). На рис. 6,б конус с углом $\theta_c = 23^\circ$ обтекается с УВ сильного семейства ($M_+ \approx 0,71$, $M_c \approx 0,63$). На рис. 6,в конус с практически таким же углом θ_c обтекается УВ слабого семейства. Однако поток, сверхзвуковой за УВ ($M_+ \approx 1,05$), тормозится (пунктирная прямая — звуковая линия $M = 1$) и становится дозвуковым ($M_c \approx 0,97$). На рис. 6,г конус с углом $\theta_c \approx 14^\circ$ обтекается всюду сверхзвуковым потоком ($M_+ \approx 1,33$, $M_c \approx 1,26$).

Для реализации (в приближении идеального газа) КТ в ТДБ (см. рис. 6,а) и в диффузорах с конусом (см. рис. 6,б–г) помимо задания их контуров по линиям тока необходимо обеспечить определенные условия истечения на выходе из диффузора. Это несложно сделать, если на выходе поток является сверхзвуковым равномерным или неравномерным, как в ТДБ с УВ слабого семейства (см. рис. 6,г) (при увеличении x неравномерность сверхзвукового потока на выходе быстро уменьшается). Сложнее обеспечить указанные условия в случае, показанном на рис. 5,в, и еще более сложно для КТ с УВ сильного семейства. Теоретически для реализации таких КТ давление на выходе должно совпадать с рассчитанным.

Течения, представленные на рис. 6, не исчерпывают всего многообразия КТ, связанных с диффузором А. Буземана. На рис. 7, 8 представлены другие КТ, построенные в кольцевых каналах, образованных линиями тока этого течения, и КТ за УВ, такими что за ними согласно рис. 5,б угол θ_+ является отрицательным. На рис. 7 приведены результаты расчета КТ разрежения за УВ, направленными по лучам с углами наклона $\varphi_{SW} \approx 108; 103; 33^\circ$, при $M_\infty = 3$, $C = -32,1130$. При равных масштабах по осям x и y показаны УВ (линии 3), луч с углом наклона $\varphi = \varphi_{N0}$ (линии 4), на котором $N = 0$, по две (см. рис. 7,а,б) или одной (см. рис. 7,в) линии тока (кривые 1, 2) и по одной C^+ - и C^- -характеристике КТ. Кривая 1 — линия тока, вышедшая из точки $y = 1$, $x = -\text{ctg} \mu_\infty = -(M_\infty^2 - 1)^{1/2} \approx -2,83$ на граничной C^- -характеристике (линия 3 на рис. 6,а). Во всех случаях при $\varphi_{N0} < \varphi \leq \varphi_{SW}$ КТ, оставаясь конически дозвуковыми, разгоняются (в случае, показанном на рис. 7,б, — до $M > 1$ с переходом через звуковую линию).

На рис. 7,а рассматриваемое КТ возможно в кольцевом канале, ограниченном (в плоскости (x, y)) сверху линией тока 1, слева — граничной C^- -характеристикой, справа — C^- -характеристикой if , которая начинается в точке i пересечения линии тока 1 и луча с углом наклона $\varphi = \varphi_{N0}$ и заканчивается в точке f на УВ. В точку f приходит и

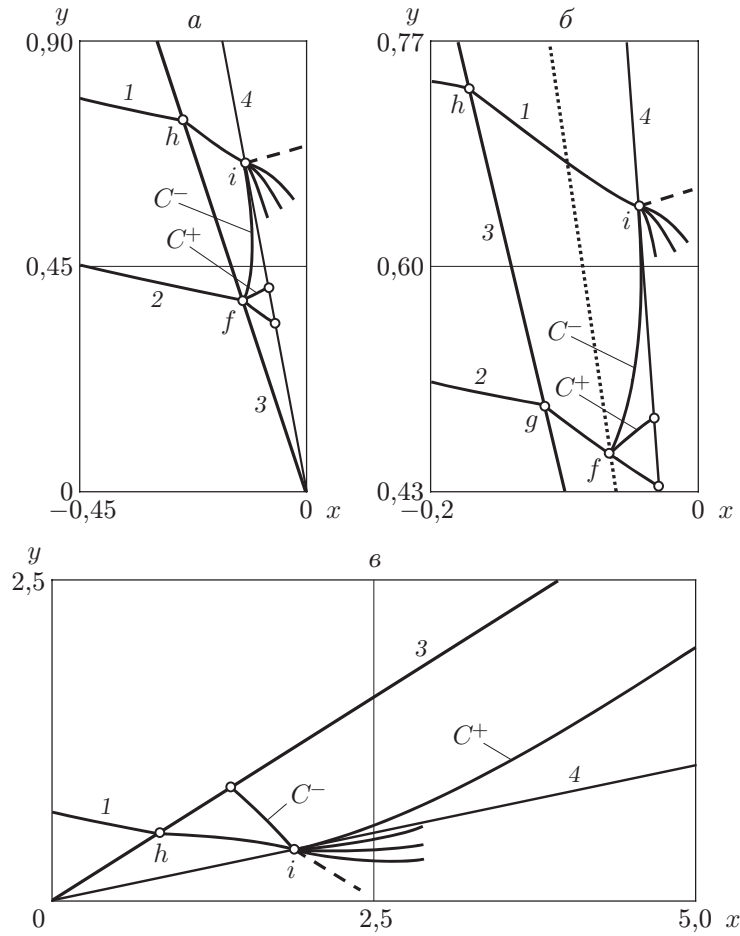


Рис. 7. Конические течения разрежения за УВ, направленными по лучам с углами наклона $\varphi_{SW} = 108^\circ$ (а), $\varphi_{SW} = 103^\circ$ (б), $\varphi_{SW} = 33^\circ$ (в):
 1, 2 — линии тока; 3 — УВ (а — $M_+ = 1,05$, б — $M_+ = 0,93$, в — $M_+ = 1,54$); 4 — линия $\varphi = \varphi_{N0}$; пунктирная прямая — звуковая линия; штриховые линии — стенки после излома

линия тока 2, ограничивающая это КТ снизу. Для его реализации в точке i на контуре верхней стенки канала должен быть излом, обтекаемый с образованием пучка волн разрежения. Стенки после излома показаны штриховыми линиями, а пучок волн разрежения — кривыми с центром в точке i . Здесь и далее отличные от if характеристики пучков не рассчитывались.

КТ в четырехугольнике $ifhg$ на рис. 7,б — аналог нереализуемого ЛКТ, представленного на рис. 2,а, и обобщение КТ [10], схема которого приведена на рис. 9,а. Отличие КТ, показанного на рис. 7,б, заключается в том, что как двумерное (осесимметричное) оно является смешанным: при $M < 1$ — между УВ и прямолинейной (но не прямой, т. е. не нормальной оси x и вектору скорости) звуковой линией, при $M > 1$ — от звуковой линии до C^- -характеристики if . В отличие от смешанного осесимметричного течения, которое возможно при обтекании кругового конуса (см. рис. 6,в), в данном случае дозвуковой поток предшествует сверхзвуковому. На рис. 9,б приведена схема другого КТ из работы [10]. Как и на рис. 7,а, эти КТ возможны в криволинейных треугольниках, расположенных на конечном расстоянии от оси симметрии. Одна из сторон треугольника КТ — прямолинейный отрезок УВ. В решениях [10] поток перед УВ (см. рис. 7,а) или за ней (см. рис. 7,б) является равномерным осевым ($\theta \equiv 0$).

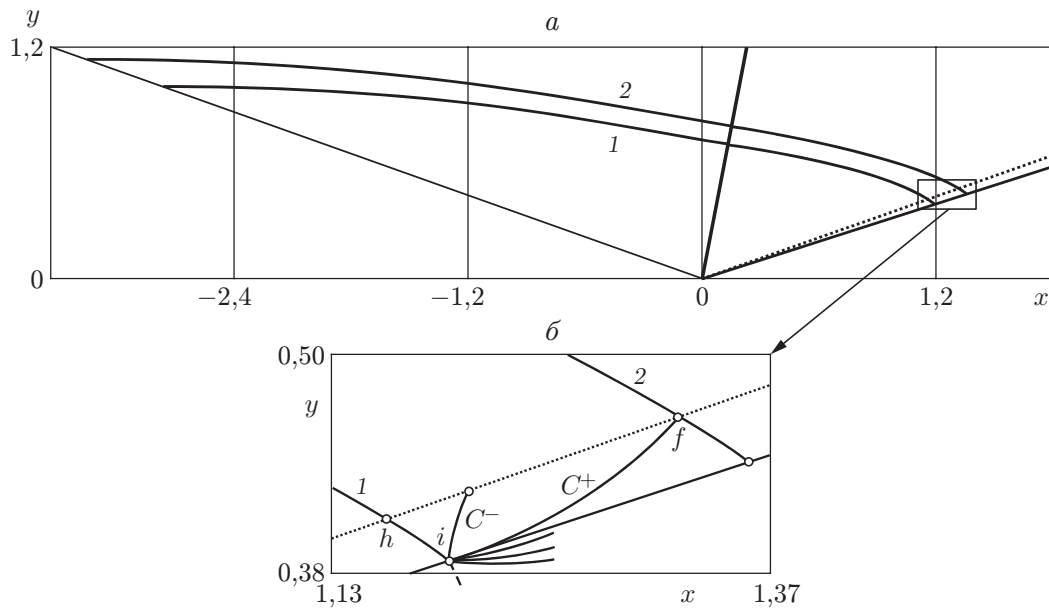


Рис. 8. Коническое течение при $M_\infty = 3$, $C = -32,2381$:

a — кольцевая область КТ, b — концевой участок кольцевой области КТ; 1, 2 — линии тока; пунктирная прямая — звуковая линия

Если в КТ разрежения за УВ $\varphi_{N0} < \pi/2$, то if — отрезок C^+ -характеристики, а не C^- -характеристики, как в случаях, представленных на рис. 7, a, b . При этом линия тока 2 (и точка f) располагается не под линией тока 1, а над ней. Такие КТ представлены на рис. 7, $в$ ($M_+ \approx 1,54$, $\theta_+ \approx -0,044$) с линией тока 2, лежащей вне рисунка ($x_f \approx 15,4$, $y_f \approx 9,83$ — координаты точки прихода на УВ C^+ -характеристики if), а также на рис. 8. Линии, приведенные на рис. 7, $в$, рассчитаны и построены для точки кривой 7 на рис. 5, $б$, расположенной вблизи ее левого конца. На рис. 5, $б$ видна особенность таких КТ: чем ближе значение φ_{SW} к φ_{N0} , тем дальше от линии тока 1 расположена линия тока 2 и тем больше треугольник ifh . Однако вследствие торможения сверхзвукового потока, обтекающего “штриховое” тело вращения, возникает УВ, которая, входя в указанный треугольник, ограничивает построенное КТ справа.

На рис. 8 ($M_\infty = 3$, $C = -32,2381$) во всей области за УВ ($\varphi_{SW} \approx 79^\circ$), за исключением малого сектора ($19,45^\circ \geq \varphi \geq \varphi_{N0} = 17,99^\circ$), КТ является дозвуковым, как на рис. 2, $б$, 7, $в$, и ограничено справа не C^- , а C^+ -характеристикой. Как и КТ на рис. 7, $в$, линией тока 2 оно ограничено сверху. Угол наклона потока на УВ изменяется от $\theta_- = -10,4^\circ$ до $\theta_+ = -9,5^\circ$, а затем поток поворачивается по часовой стрелке до угла, близкого к -38° , на луче с углом наклона $\varphi = \varphi_{N0}$. За УВ сильного семейства, идущими к оси симметрии ($\varphi_{SW} > \pi/2$), также можно построить “кольцевые” КТ — аналоги КТ, представленных на рис. 7, $б, 8$.

Конически дозвуковые КТ разрежения [9] с $\theta \leq 0$, $M \geq M_\infty$ (равенства $\theta = 0$, $M = M_\infty$ имеют место на начальной характеристике) примыкают к невозмущенному потоку по C^+ -характеристике. Эти КТ строятся с использованием разложений (2.6), (2.7) с верхними знаками при $\delta\varphi = \varphi - \mu_\infty$. Расчеты показали, что в отличие от КТ [2] решения, представляющие интерес для профилирования кормовых частей, получаются при положительных значениях постоянной C . При этом ее монотонному росту соответствует непрерывное хорошо наблюдаемое изменение КТ (рис. 10, a). Это подтверждает поведение линий тока, рассчитанных для $M_\infty = 3$, $C = 200n^2$ при $n = 0 \div 11$ на рис. 10, a : при разных масштабах

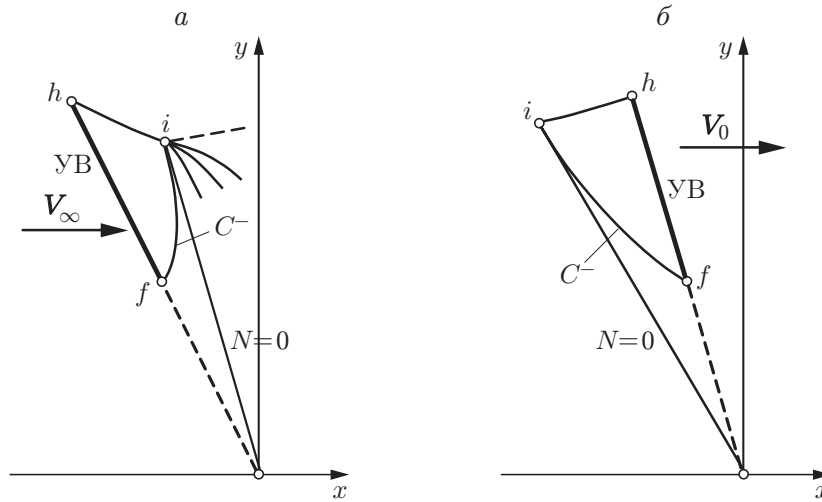


Рис. 9. Схемы конических течений [10]:
 а — перед УВ, б — за УВ

по осям координат все линии тока выходят из точки $x = \text{ctg } \mu_\infty \approx 2,83, y = 1$ начальной C^+ -характеристики; $X = x - \text{ctg } \mu_\infty; \gamma = 1,4$.

На рис. 10, б для $M_\infty = 3, C = 300$ при одинаковых масштабах по осям представлены линии тока, C^\pm -характеристики и луч с углом наклона $\varphi = \varphi_{N0} = 2,46^\circ$, касаясь которого уходят вправо и вверх все C^+ -характеристики данного КТ. На нем $M = 3,530, \theta = -14^\circ$, а величина y линий тока равна половине ее значения на начальной C^+ -характеристике. Все C^+ -характеристики, выходящие с луча, направленного под углом $\varphi = \varphi_{N0}$, при удалении от начала координат пересекают любой луч с углом наклона $\varphi < \varphi_\infty$.

Рассмотрим еще один пример: КТ за детонационной волной Чепмена — Жуге (ДВЧЖ) при обтекании кругового конуса [8]. При обтекании инертным газом конуса с конечным углом при вершине за УВ вплоть до поверхности конуса $N > 0$ и течение является конически дозвуковым. Иная ситуация возможна при обтекании конуса горючей смесью с ДВЧЖ, за которой $v_J > 0, N = 0$. За ДВЧЖ правая часть уравнения (1.4) по-прежнему является отрицательной, однако при отходе от ДВ разность N становится положительной при уменьшении u и отрицательной при увеличении u . Согласно третьему уравнению (1.3) в обоих случаях φ будет уменьшаться, следовательно, для ДВЧЖ интегрирование уравнений (1.3) возможно в направлении и уменьшения, и увеличения u . В случае уменьшения u согласно второму уравнению (1.3) компонента скорости v растет, $\text{tg } \theta = v/u > 0$ также растет и вогнутые линии тока при $u \rightarrow u_c$ приближаются к лучу с углом наклона $\varphi = \theta_c$, совпадающему с образующей конуса, на которой в силу условия непротекания $V_n = 0, N = a^2 > 0$. В таком решении между ДВЧЖ и поверхностью конуса $N > 0$, т. е. течение является конически дозвуковым. Несмотря на то что в течении за ДВЧЖ направление луча с углом наклона $\varphi = \varphi_J$ совпадает с направлением C^+ -характеристики, на нем не выполняется условие совместности (уравнение (2.1) со знаками “+”). Поэтому, как и рассмотренные выше звуковые лучи, луч с углом наклона $\varphi = \varphi_J$ является огибающей C^+ -характеристик, подходящих к нему снизу по касательной.

При интегрировании уравнений (1.3) в направлении увеличения u согласно второму уравнению (1.3) v уменьшается, $\text{tg } \theta = v/u > 0$ также уменьшается и выпуклые линии тока при некотором $u = V_0 > u_J$ и $\varphi = \varphi_0 < \varphi_J$ могут стать горизонтальными: $v = \theta = 0$. В то же время, поскольку разность N , став отрицательной, сначала растет по модулю и компонента скорости v , а значит, и первое слагаемое уменьшаются, знак правой ча-

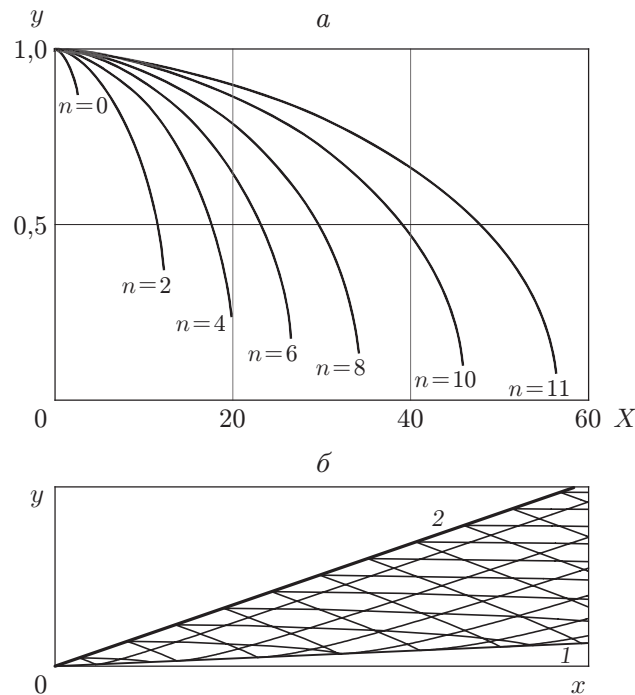


Рис. 10. Линии тока КТ при $M_\infty = 3$, $C = 200n^2$ и различных значениях n (а) и линии тока, C^\pm -характеристики, луч, направленный под углом $\varphi = \varphi_{N0} = 2,46^\circ$ (1), начальная C^+ -характеристика (2) КТ при $M_\infty = 3$, $C = 300$ (б)

сти уравнения (1.4) неизбежно изменится. Поэтому, начиная с некоторого u , правая часть выражения (1.4) становится положительной, и отрицательная разность N увеличивается (уменьшаясь по модулю). Вследствие уменьшения v в знаменателе первого слагаемого правой части (1.4) разность N будет увеличиваться с ускорением.

Рассмотрим возможность одновременного обращения в нуль при $u = V_0$ значений v и N . В этом случае $\varphi = \mu_0$ (μ_0 — угол Маха для $u = V_0$). Поскольку при постоянных параметрах на таком луче компонента скорости v равна нулю, на нем выполняется условие совместности (уравнение (2.1) со знаками “+”) для C^+ -характеристик. Следовательно, луч с углом наклона $\varphi = \mu_0$ представляет собой C^+ -характеристику, а не огибающую таких характеристик, как так же имеющий характеристическое направление, но не удовлетворяющий условию совместности (так как $v > 0$) луч с углом наклона $\varphi = \varphi_J$. Из анализа первого уравнения (2.3) и решения (2.5) следует, что особая точка $N = v = 0$ — узел. При численном построении рассматриваемого КТ узел, собирающий интегральные кривые первого уравнения (2.2), обеспечивает одновременное выполнение равенств $N = 0$, $v = 0$. Однако в данном случае величины V_0 , μ_0 , заменяющие в уравнении (2.4) и решениях (2.5)–(2.7) величины V_∞ , μ_∞ , заранее неизвестны и находятся в процессе решения.

При обтекании конуса сверхзвуковым потоком горючей смеси возникновение ДВЧЖ возможно не только при определенном угле конуса (угле Чепмена — Жуге φ_{cJ}), но и при меньших углах. Во втором случае к ДВЧЖ примыкает конически сверхзвуковое течение разрежения, ограниченное конической УВ, а за ней до поверхности конуса имеет место конически дозвуковое течение сжатия. Такое КТ — первый пример автомодельного течения с двумя расходящимися из одной точки сильными разрывами (ДВЧЖ и УВ) “одного семейства”. Если q — теплота реакции, отнесенная к квадрату скорости набегающего потока, то возникновение стационарной ДВЧЖ возможно при $q = kq^m$, где $q^m = (1 - M_\infty^{-2})^2 / [2(\gamma^2 - 1)]$; $k < 1$.

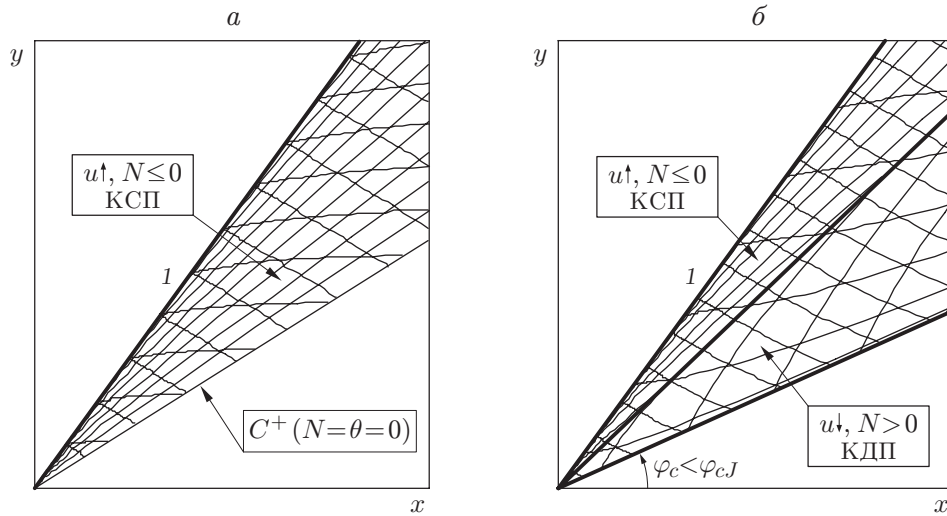


Рис. 11. Коническое течение за ДВЧЖ (1) при $M_\infty = 3$, $k = 0,5$:
 а — конически сверхзвуковое КТ разрежения, б — обтекание конуса с полууглом при вершине $\theta = 22^\circ$

На рис. 11 для $M_\infty = 3$, $k = 0,5$ и соответствующей этим параметрам ДВЧЖ представлены результаты, которые получаются, если уравнения (1.3), (2.2), (2.8) интегрировать от $u = u_J$ за ДВЧЖ в направлении увеличения u (масштабы по осям x , y одинаковые). Рис. 11,а соответствует полному разгону конически сверхзвукового течения до C^+ -характеристики ($\varphi = \mu_0$), на которой $N = \theta = 0$, $\mu = \mu_0 \approx 29^\circ$. Справа от этой характеристики находится равномерный осевой поток с теми же значениями θ и μ . Линии тока построенного КТ представляют собой выпуклые кривые, а C^+ -характеристики, касаясь ДВЧЖ в начальных точках, удаляются от нее вверх и вправо: от ДВ распространяются волны разрежения, сносимые сверхзвуковым потоком от ДВЧЖ. На рис. 11,б представлены результаты расчета обтекания конуса с полууглом при вершине $\theta \approx 22^\circ$, меньшим $\varphi_{cJ} \approx 39^\circ$. В этом случае показанное на рис. 11,а конически сверхзвуковое течение разрежения сохраняется до УВ с углом $\varphi \approx 40^\circ$. По этому углу и известным параметрам КТ разрежения перед УВ определяются параметры за УВ включая x -компоненту скорости u_+ . Путем интегрирования уравнений (1.3), (2.2), (2.8) от $u = u_+$ в направлении уменьшения u до выполнения равенства $\varphi = \theta \approx 22^\circ$ строится конически дозвуковое течение сжатия между УВ и образующей конуса. Линии тока этого КТ представляют собой вогнутые кривые (на УВ кривизна линий тока меняет знак).

Интенсивность УВ — отношение давлений p_+/p_- — зависит от величины M_n таким образом, что $p_+/p_- = 1$ при $M_n = 1$. УВ конечной интенсивности ($p_+/p_- > 1$) за ДВЧЖ возможны при $0 < k < 1$ и $\mu_0 < \varphi < \varphi_J$. На рис. 12 для $\gamma = 1,4$, трех значений числа Маха M_∞ и $0 < k < 1$ приведены зависимости p_+/p_- от $\mu_0/\varphi_J \leq \varphi/\varphi_J \leq 1$. При фиксированных k и φ/φ_J интенсивность УВ является монотонно возрастающей функцией M_∞ . Однако даже при $M_\infty = \infty$, $k = 0,1$ отношение p_+/p_- имеет максимальное значение $p_+/p_- = 1,401$, которое при уменьшении γ незначительно уменьшается: $p_+/p_- = 1,373$ при $\gamma = 1,2$, $p_+/p_- = 1,357$ при $\gamma = 1,1$.

Рассмотрим случай непрерывного изменения знака N и типа КТ. Это возможно, если к построенному выше сверхзвуковому КТ по C^+ -характеристике — лучу с углом наклона $\varphi = \mu_0$ — присоединить КТ А. А. Никольского [9]. В этом КТ параметр u продолжает увеличиваться, а компонента скорости v , в силу второго уравнения (1.3) став отрицательной, растет по модулю. В результате скорость газа увеличивается, давление и плотность

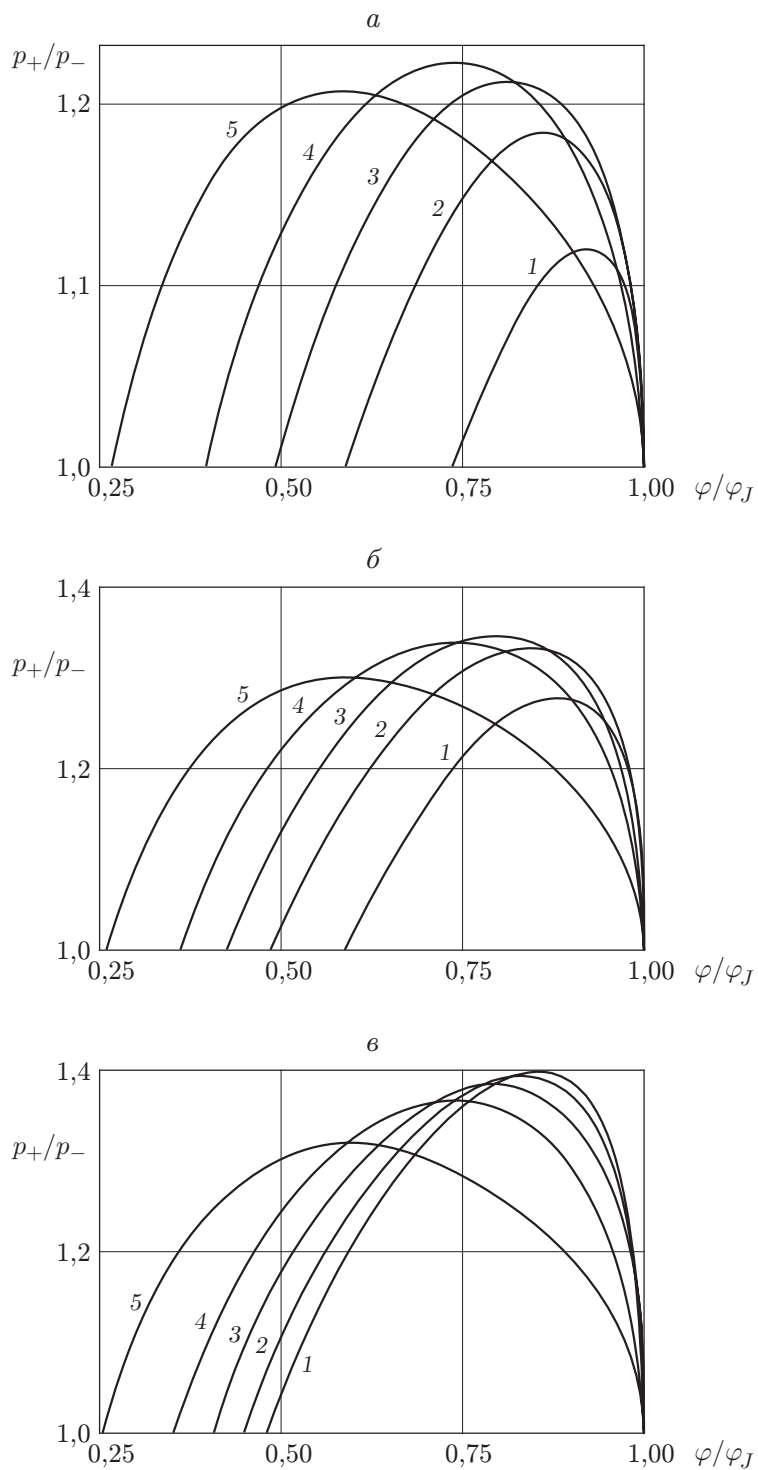


Рис. 12. Зависимости интенсивности УВ от φ/φ_J при $\gamma = 1,4$, $M_\infty = 2$ (а), $M_\infty = 5$ (б), $M_\infty = \infty$ (в) и различных значениях k :
 1 — $k = 0,1$, 2 — $k = 0,3$, 3 — $k = 0,5$, 4 — $k = 0,7$, 5 — $k = 0,9$

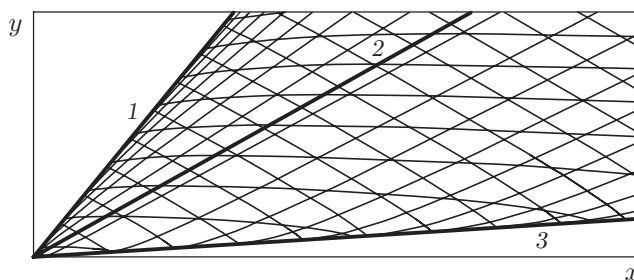


Рис. 13. Объединение конических течений [8] и [9] при $M_\infty = 3$, $k = 0,5$:
 1 — ДВЧЖ; 2 — луч с углом наклона $\varphi = \mu_0 = 29^\circ$, 3 — луч с углом наклона $\varphi = \varphi_{N0} = 3,6^\circ$

уменьшаются, число Маха растёт, однако присоединенное КТ разрежения оказывается конически дозвуковым.

В рассматриваемой идеальной постановке описанная комбинация двух КТ соответствует обтеканию уходящего влево полубесконечного цилиндра, продолженного после пересечения с ДВЧЖ линией тока полного (до $v = 0$) течения разрежения [8], а затем линией тока КТ [9]. Ту же кривую, состоящую из двух конечных отрезков плавно состыкованных линий тока, можно рассматривать в качестве внешнего контура тела с протоком, обтекаемого детонирующей смесью.

На рис. 13 приведен пример КТ (линии тока, C^\pm -характеристики) [9], присоединенного к КТ полного разрежения [8] за ДВЧЖ при $M_\infty = 3$, $k = 0,5$. Конически сверхзвуковой поток разгоняется от $M_J \approx 1,60$ до $M_0 \approx 2,06$, $\theta_0 = 0$, а затем, перейдя (при $C = 300$) через C^+ -характеристику — луч 2 с углом наклона $\varphi = \mu_0 \approx 29^\circ$ — и став конически дозвуковым, продолжает разгоняться до луча с углом наклона $\varphi = \varphi_{N0} \approx 3,6^\circ$, на котором $M_{N0} \approx 2,56$, $\theta_{N0} \approx -19^\circ$. Как и с ДВЧЖ, с этого луча, касаясь его, уходят вправо и вверх C^+ -характеристики.

В данном примере для любой линии тока, принятой в качестве контура тела вращения (с протоком или примыкающего на ДВЧЖ с изломом $\theta_J \approx 12^\circ$ к полубесконечному цилиндру), $y_0/y_J \approx 1,07$, $y_{N0}/y_0 \approx 0,50$. Таким образом, после незначительного расширения построенное тело по y сужается в два раза, а по площади — в четыре раза. При выпуклом изломе в концевой точке контура правой границей построенного КТ в конечной окрестности этой точки будет уходящая с нее C^+ -характеристика (левая граница образующегося при обтекании излома пучка волн разрежения). Однако вследствие торможения текущего к оси симметрии сверхзвукового потока возникает УВ, которая обязательно догонит указанную C^+ -характеристику КТ и станет его правой границей.

Заключение. Рассмотренные КТ непрерывно (по C^+ - или C^- -характеристике) или разрывно (по УВ или ДВ) примыкают к равномерному сверхзвуковому потоку — одному из простейших течений, аналогичных используемым в различных приложениях. Однако этого недостаточно для того, чтобы данное КТ (в приближении идеального газа) могло реализоваться даже при точном задании обтекаемых контуров и граничных условий снизу по потоку. Даже для КТ в традиционном диффузоре А. Буземана с УВ слабого семейства, когда в стационарном режиме условия в выходном сечении тривиальны, возникает проблема “запуска” (выхода на такой режим). Реализация течения с ДВЧЖ и его объединения с течением А. А. Никольского также проблематичны. В силу сказанного выше большинство рассмотренных КТ представляет интерес для теоретических исследований, но не для приложений. Еще большие трудности вызывает изучение КТ с закруткой. Для них проблематично даже задание потока в “начальном” сечении или “теоретическое конструирование” устройств, способных генерировать в этом сечении требуемый закрученный поток.

ЛИТЕРАТУРА

1. **Курант Р.** Сверхзвуковое течение и ударные волны / Р. Курант, К. Фридрихс. М.: Изд-во иностр. лит., 1950.
2. **Буземан А.** Осесимметричное коническое сверхзвуковое течение // Газовая динамика. М.: Изд-во иностр. лит., 1950. С. 197–218.
3. **Булах Б. М.** Нелинейные конические течения газа. М.: Наука, 1970.
4. **Черный Г. Г.** Газовая динамика. М.: Наука, 1988.
5. **Овсянников Л. В.** Лекции по основам газовой динамики. М.; Ижевск: Ин-т компьютер. исслед., 2003.
6. **Крайко А. Н.** Краткий курс теоретической газовой динамики. М.: Моск. физ.-техн. ин-т, 2007.
7. **Крайко А. Н.** Теоретическая газовая динамика: классика и современность. М.: Торус-пресс, 2010.
8. **Квашнина С. С., Черный Г. Г.** Установившееся обтекание конуса потоком детонирующего газа // Прикл. математика и механика. 1959. Т. 23, вып. 1. С. 182–186.
9. **Никольский А. А.** Конические осесимметричные сверхзвуковые газовые течения разрежения // Сборник теоретических работ по аэродинамике. М.: Оборонгиз, 1957. С. 43–55.
10. **Гродзовский Г. Л.** Сверхзвуковые осесимметричные конические течения с коническими скачками, граничащими с параллельным равномерным потоком // Прикл. математика и механика. 1959. Т. 23, вып. 2. С. 379–383.
11. **Никольский А. А.** О течениях газа вблизи остроконечных задних кромок тел вращения // Сборник теоретических работ по аэродинамике. М.: Оборонгиз, 1957. С. 74–76.
12. **Исакова Н. П., Крайко А. Н., Пьянков К. С., Тилляева Н. И.** Об усилении слабых ударных волн в осесимметричном сверхзвуковом потоке и их отражении от оси симметрии // Прикл. математика и механика. 2012. Т. 76, вып. 4. С. 625–647.
13. **Крайко А. Н., Тилляева Н. И.** Обтекание конуса горючей смесью с детонационной волной Чепмена — Жуге // Прикл. математика и механика. 2013. Т. 77, вып. 1. С. 3–14.
14. **Kraiko A. N., P'yankov K. S., Tillyaeva N. I.** General theory of axisymmetric conic and locally conic flows and reflection of stationary shock waves from the axis of symmetry // Intern. conf. on methods of aerophys. res. ICMAR, Kazan (Russia), Aug. 19–25, 2012. [Электрон. ресурс]. Режим доступа: http://www.itam.nsc.ru/users/libr/eLib/confer/ICMAR/2012/009_Kraiko.pdf.
15. **Хабиров С. В.** Конические закрученные течения и их обобщения // ПМТФ. 2012. Т. 53, № 4. С. 38–47.
16. **Рылов А. И.** К вопросу о невозможности регулярного отражения стационарной ударной волны от оси симметрии // Прикл. математика и механика. 1990. Т. 54, вып. 2. С. 245–249.

Поступила в редакцию 24/XII 2012 г.